

# Nowoczesne technologie materiałowe stosowane w przemyśle lotniczym

## Modern material technologies in aerospace industry

### Opracowanie zaawansowanych procesów obróbki HSM trudnoobrabialnych stopów lotniczych

#### Development of advanced processes of HSM of almost unworkable aeronautical alloys

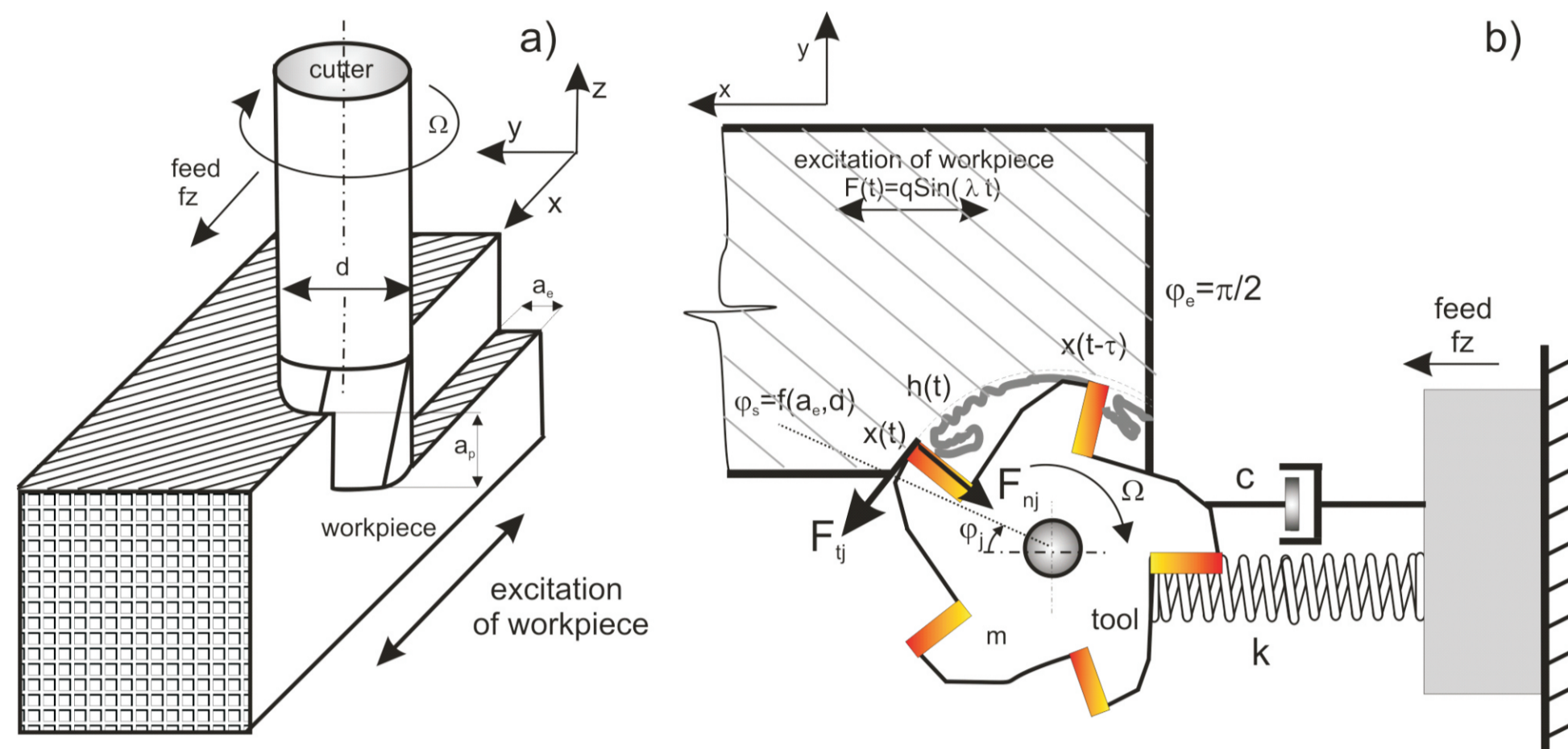
Politechnika Rzeszowska, Politechnika Lubelska, Politechnika Łódzka, Politechnika Warszawska

#### Wyniki badań

#### Results

#### Eliminacja zjawiska chatter w procesie obróbki materiałów kompozytowych

#### The chatter phenomena elimination in machining process of composite materials



Rys.1. Model frezowania współbieżnego kompozytu 3D (a) oraz 2D (b)  
Fig.1. One degree of freedom model of down-milling, 3D (a) and 2D (b) for composite milling

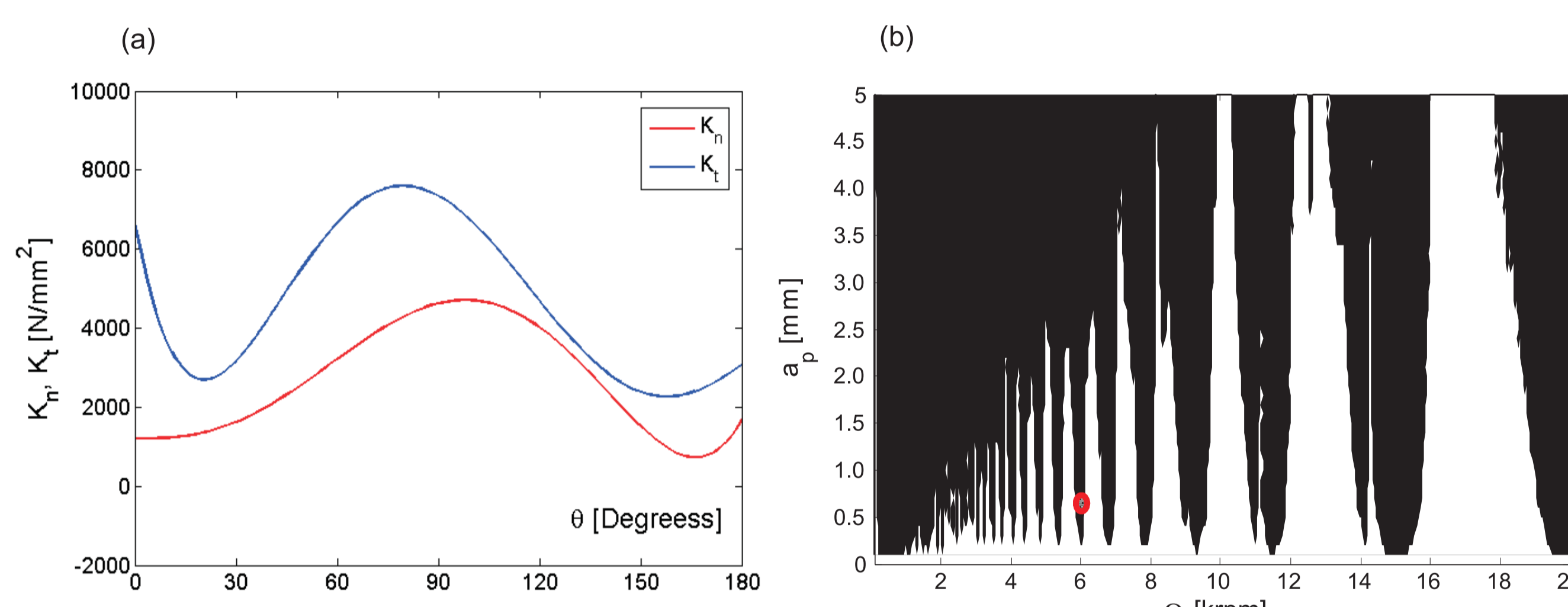
Równanie ruchu modelu frezowania kompozytu:

$$m\ddot{x} + c\dot{x} + kx = a_p h(t)^k (K_s \sin \varphi - K_n \cos \varphi) g_j,$$

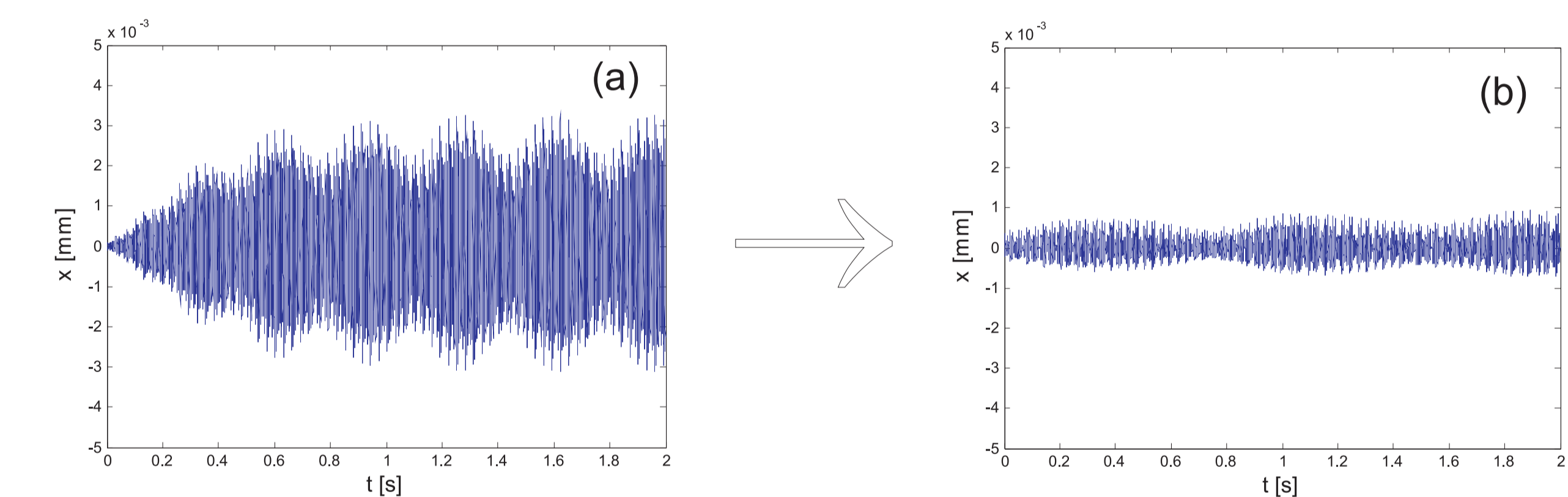
$$h_j = [f_z + x(t) - x(t-\tau)] \cos \varphi_j - q \sin(\lambda t),$$

$$\theta = \pi/2 - (\varphi_j - \psi)$$

Rys.2. Modelowanie orientacji włókien laminatu do analizy procesu frezowania współbieżnego  
Fig.2. Modelling of fibre orientation of unidirectional laminate for down milling process



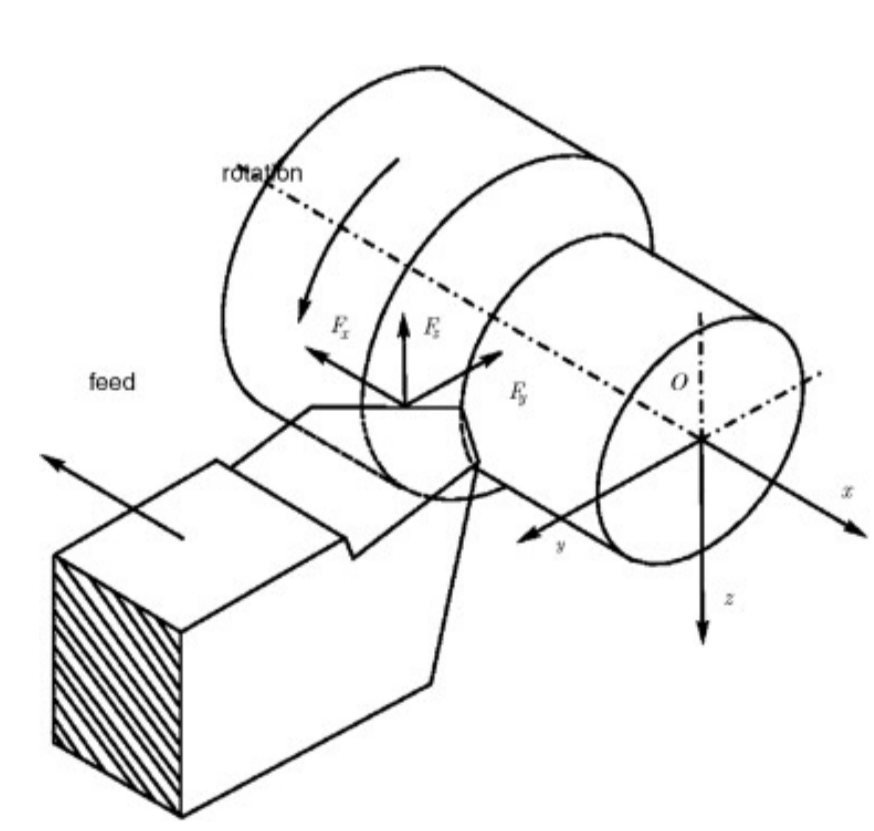
Rys.3. Zmianność parametrów siły skrawania  $K_t$  i  $K_n$  ze względu na orientację włókien  $\theta$ , krzywa workowa frezowania kompozytu dla  $\psi=45^\circ$  (b)  
Fig.3. Variation of specific cutting forces  $K_t$  and  $K_n$  depending on fibre orientation  $\theta$ , SLD for composite model for  $\psi=45^\circ$  (b)



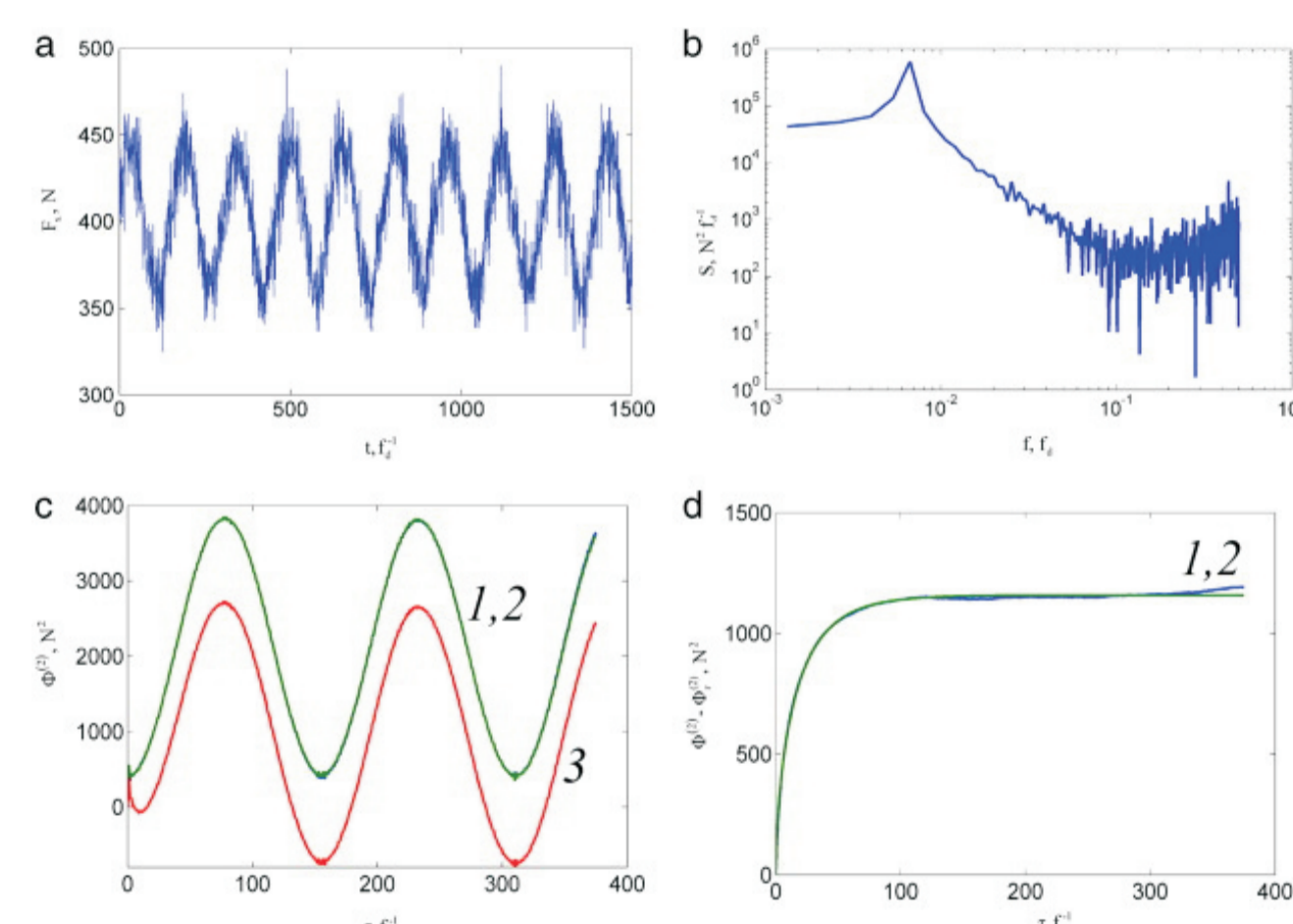
Rys.4. Przebieg czasowy drgań frezu bez pobudzenia (a) i z pobudzeniem przedmiotu obrabianego (b)  
Fig.4. Time history of tool vibration without activation (a) and activation (b) of workpiece

#### Badania doświadczalne - toczenie stali kwasoodpornej EZ6NCT25

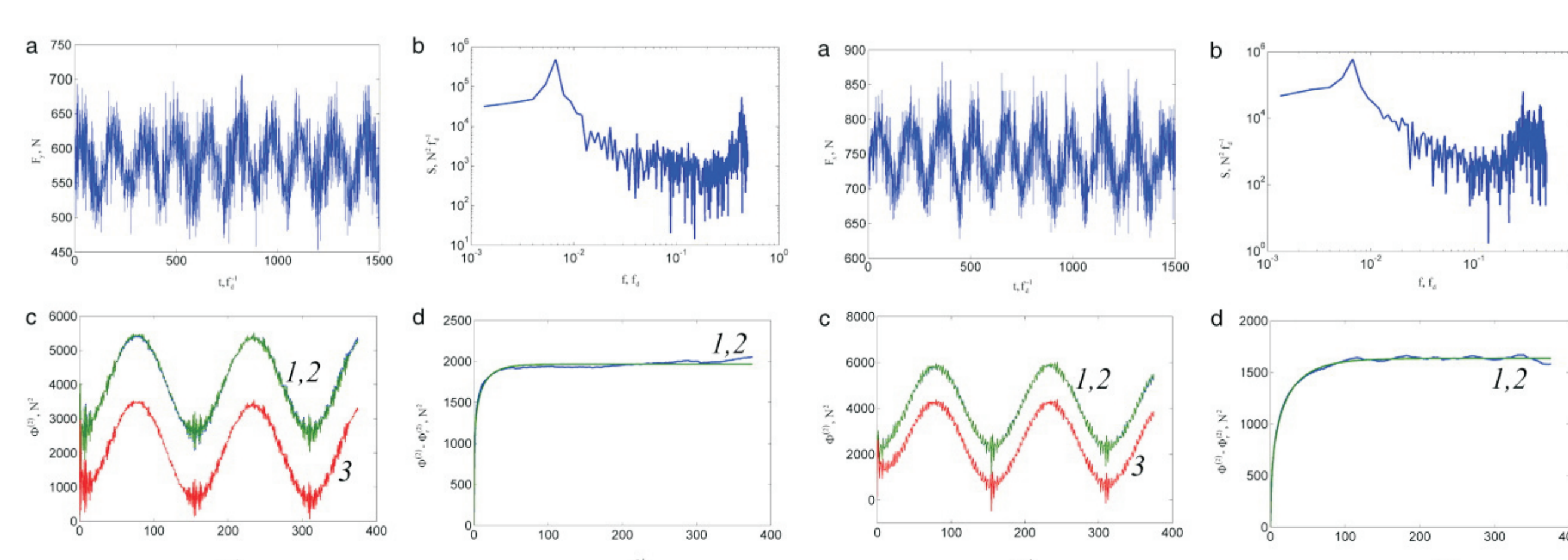
#### Experimental studies - turning of stainless steel EZ6NCT25



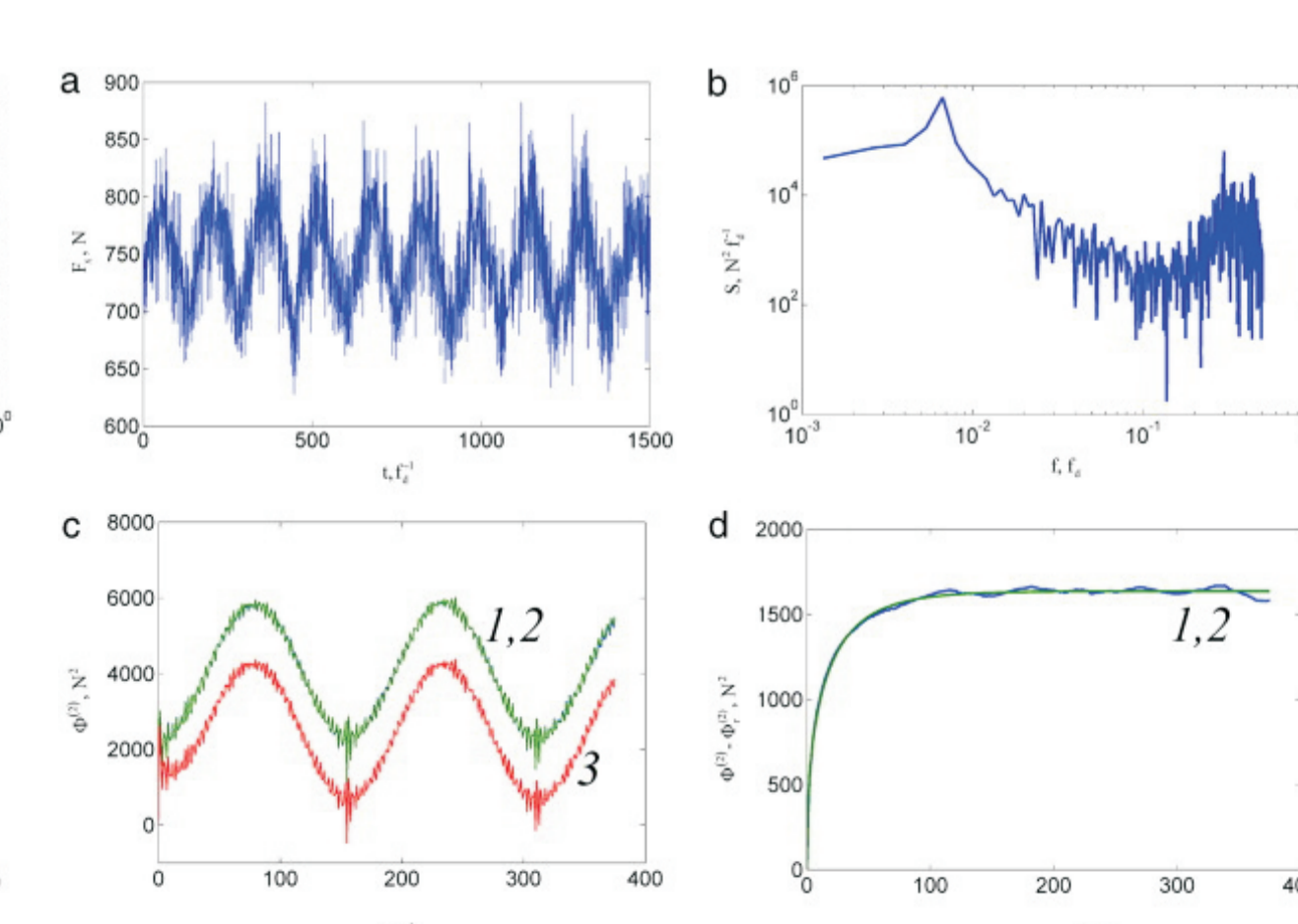
Rys.5. Model fizyczny procesu toczenia z efektem regeneracyjnym  
Fig.5. Physical model of a regenerative turning process



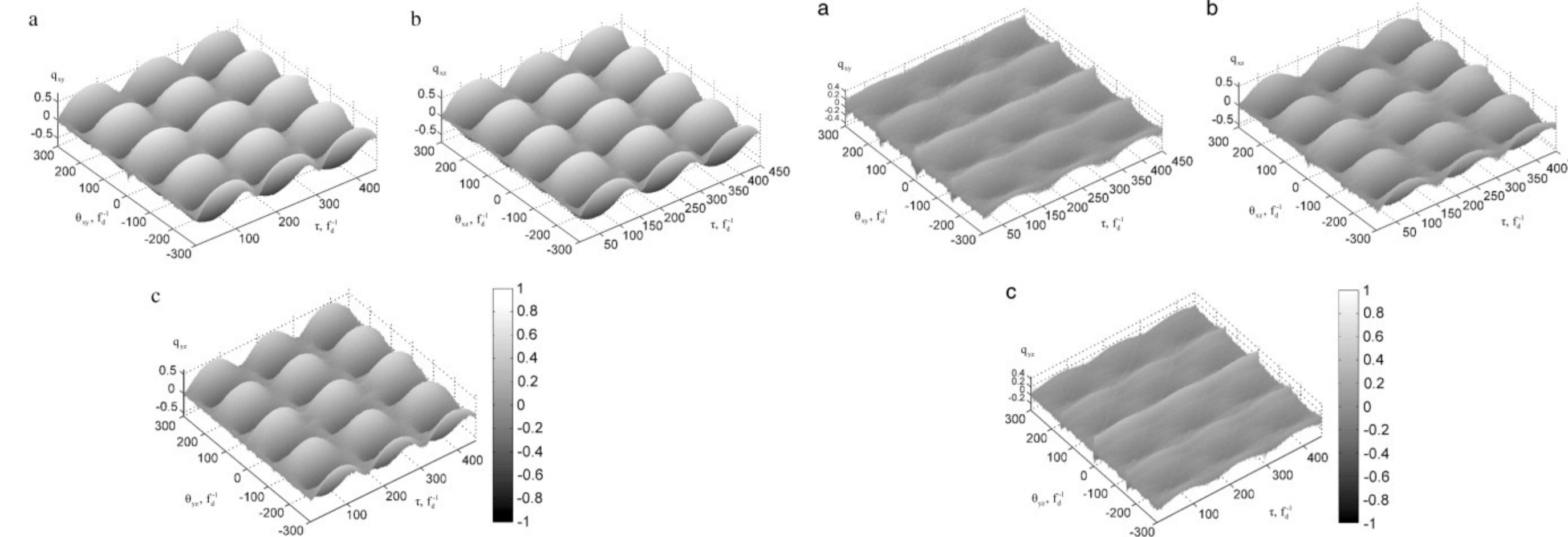
Rys.6. Kierunek  $F_x$  a) przebieg czasowy, b) widmo mocy, c) funkcja strukturalna  $F^\alpha(t)$ , d) składowa stochastyczna  $F^\alpha(t)$   
Fig.6. Direction  $F_x$  a) time series, b) power spectrum, c) structure functions  $F^\alpha(t)$ , d) stochastic component of  $F^\alpha(t)$



Rys.7. Kierunek  $F_y$  a) przebieg czasowy, b) widmo mocy, c) funkcja strukturalna  $F^\alpha(t)$ , d) składowa stochastyczna  $F^\alpha(t)$   
Fig.7. Direction  $F_y$  a) time series, b) power spectrum, c) structure functions  $F^\alpha(t)$ , d) stochastic component of  $F^\alpha(t)$



Rys.8. Kierunek  $F_z$  a) przebieg czasowy, b) widmo mocy, c) funkcja strukturalna  $F^\alpha(t)$ , d) składowa stochastyczna  $F^\alpha(t)$   
Fig.8. Direction  $F_z$  a) time series, b) power spectrum, c) structure functions  $F^\alpha(t)$ , d) stochastic component of  $F^\alpha(t)$

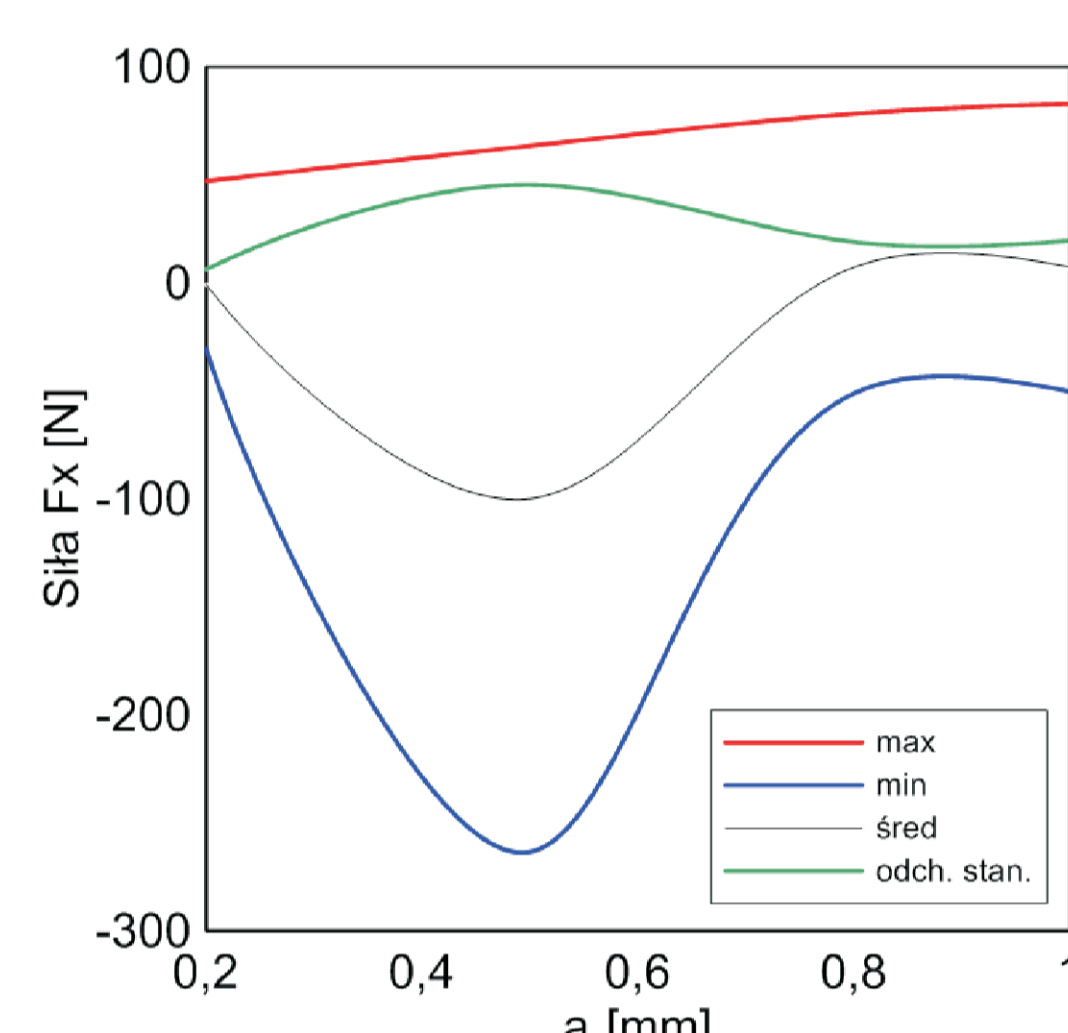


Rys.9. Korelacja krzyżowa  $h=1\text{mm}$   
Fig.9. Cross - correlation  $h=1\text{mm}$

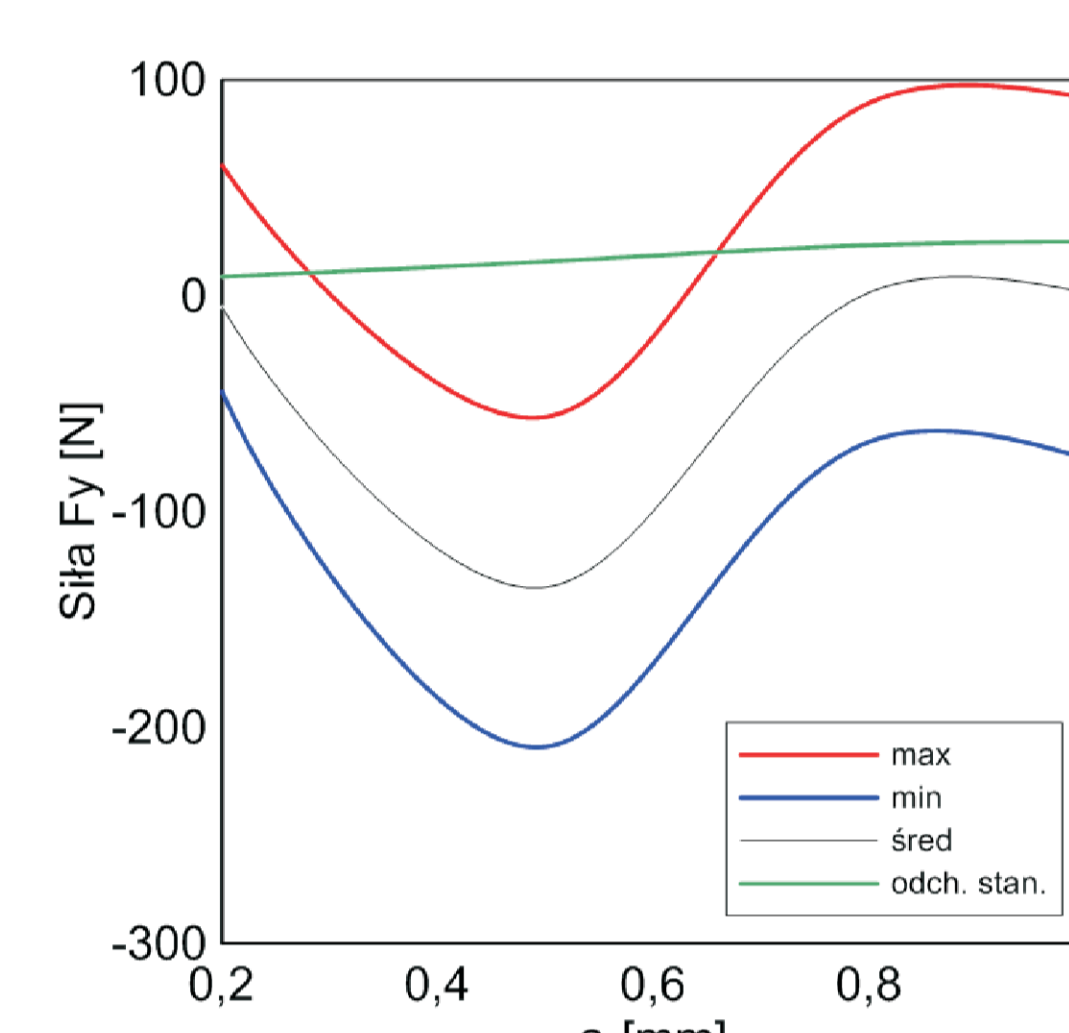
Rys.10. Korelacja krzyżowa  $h=2.3\text{mm}$   
Fig.10. Cross - correlation  $h=2.3\text{mm}$

#### Badania doświadczalne - frezowanie kompozytu metalicznego AK20 z grafitem

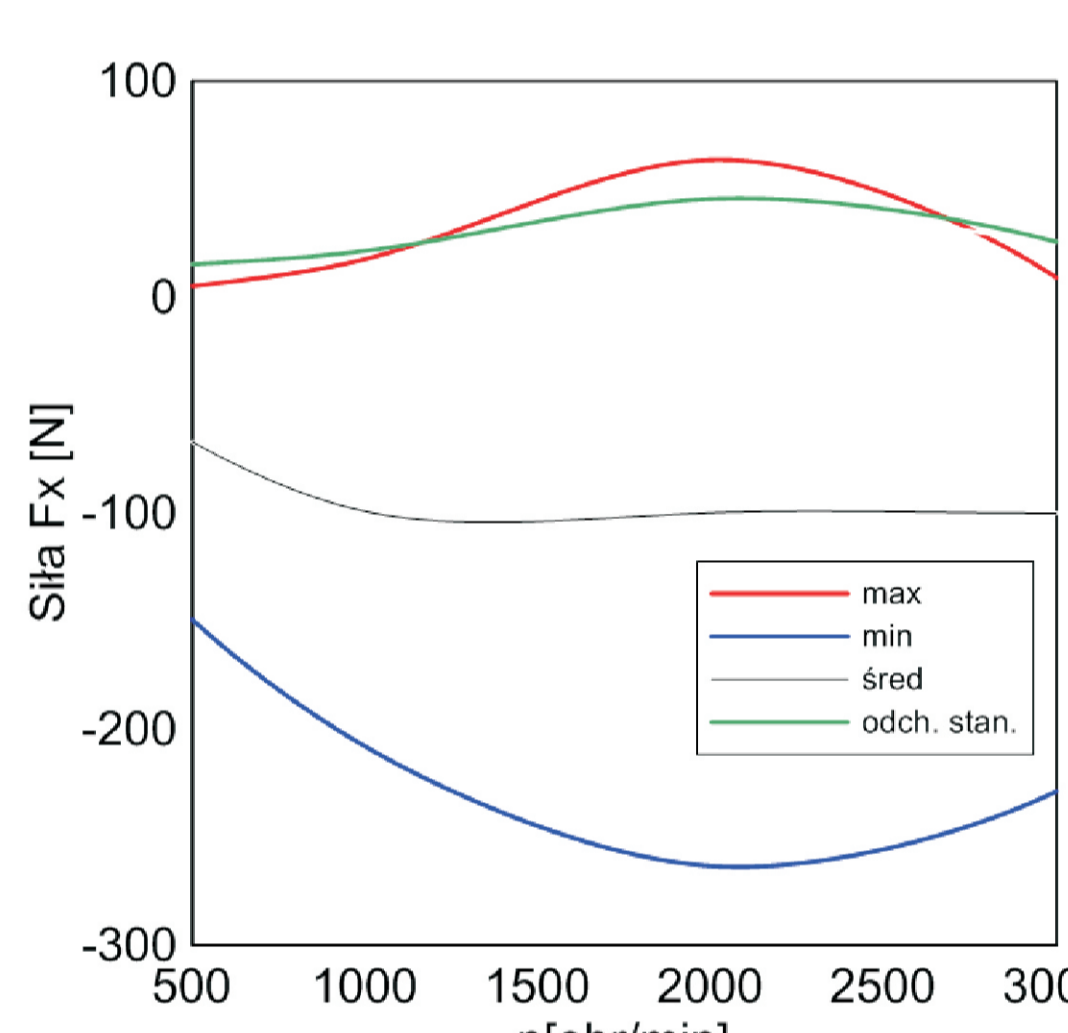
#### Experimental studies - milling of metallic composite AK20 with graphite



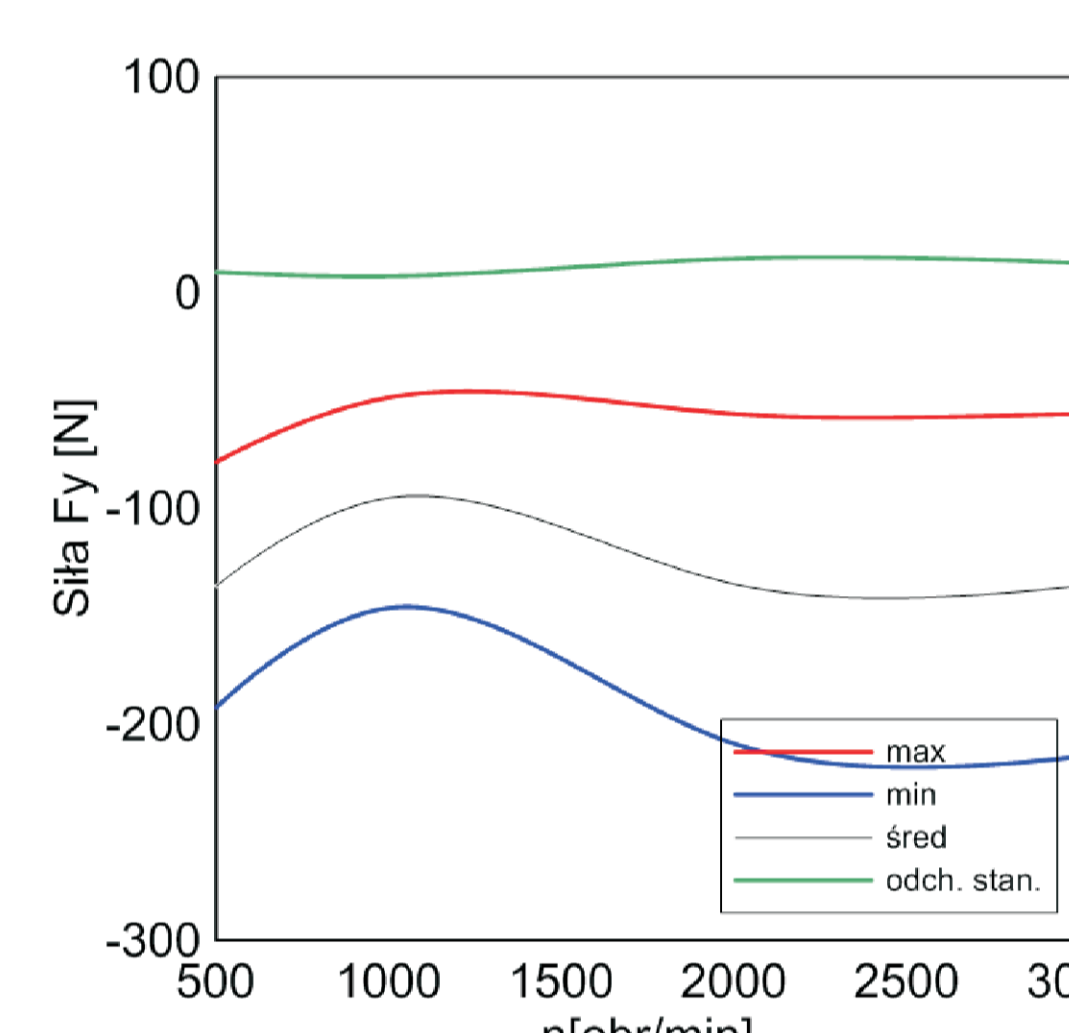
Rys.11. Wpływ głębokości skrawania na siłę  $F_x$   
Fig.11. Influence of depth of cut to force  $F_x$



Rys.12. Wpływ głębokości skrawania na siłę  $F_y$   
Fig.12. Influence of depth of cut to force  $F_y$



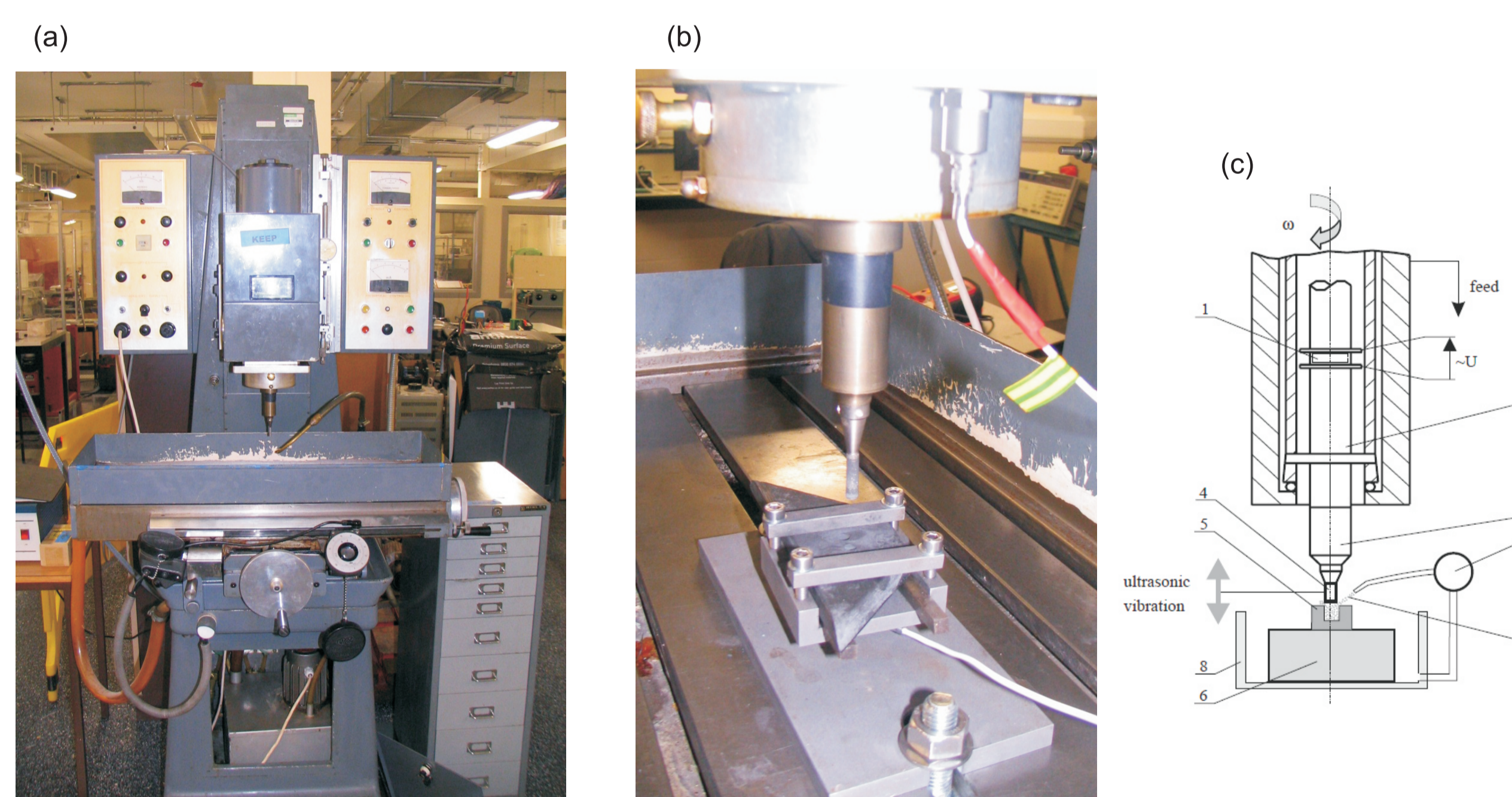
Rys.13. Wpływ prędkości obrotowej na siłę  $F_x$   
Fig.13. Influence of spindle speed to force  $F_x$



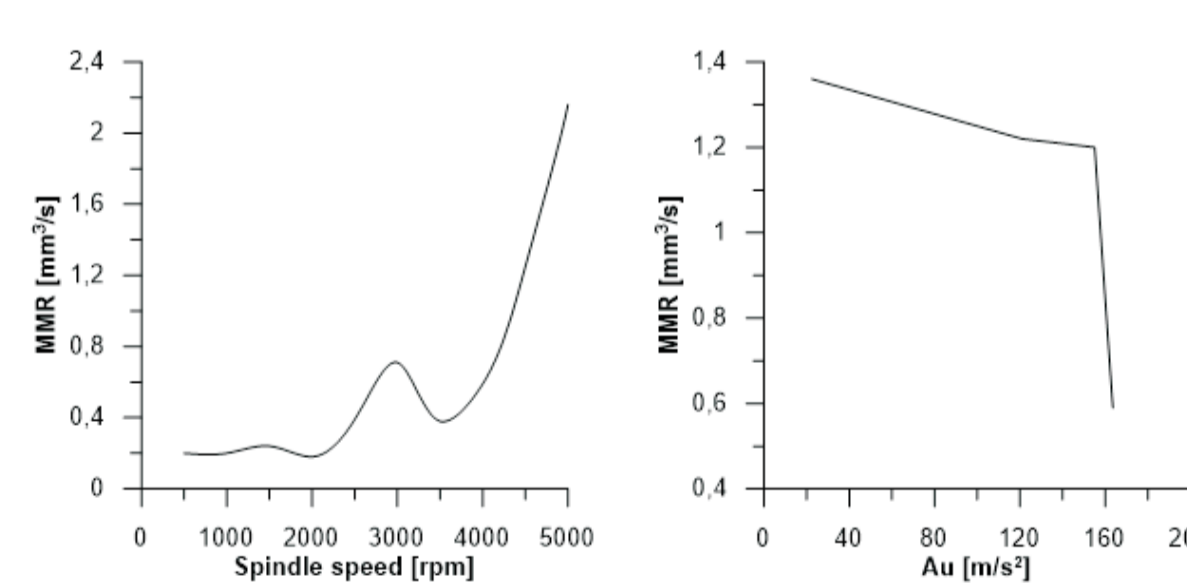
Rys.14. Wpływ prędkości obrotowej na siłę  $F_y$   
Fig.14. Influence of spindle speed to force  $F_y$

#### Analiza skrawalności kompozytu węglowego metodą "ultrasonic drilling"

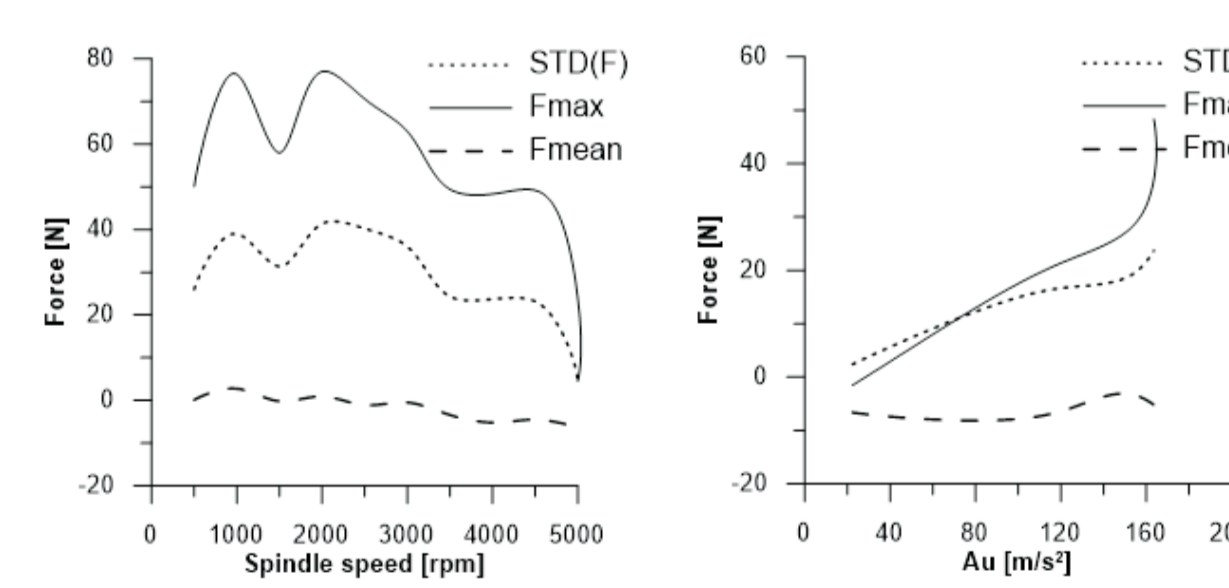
#### Analysis of composite machinability using ultrasonic drilling



Rys.15. "Ultrasonic drilling": a) stanowisko pomiarowe, b) układ pomiarowy, c) schemat urządzenia "ultramill"  
Fig.15. Ultrasonic drilling: a) test bench, b) measuring system, c) schematic diagram of ultramill



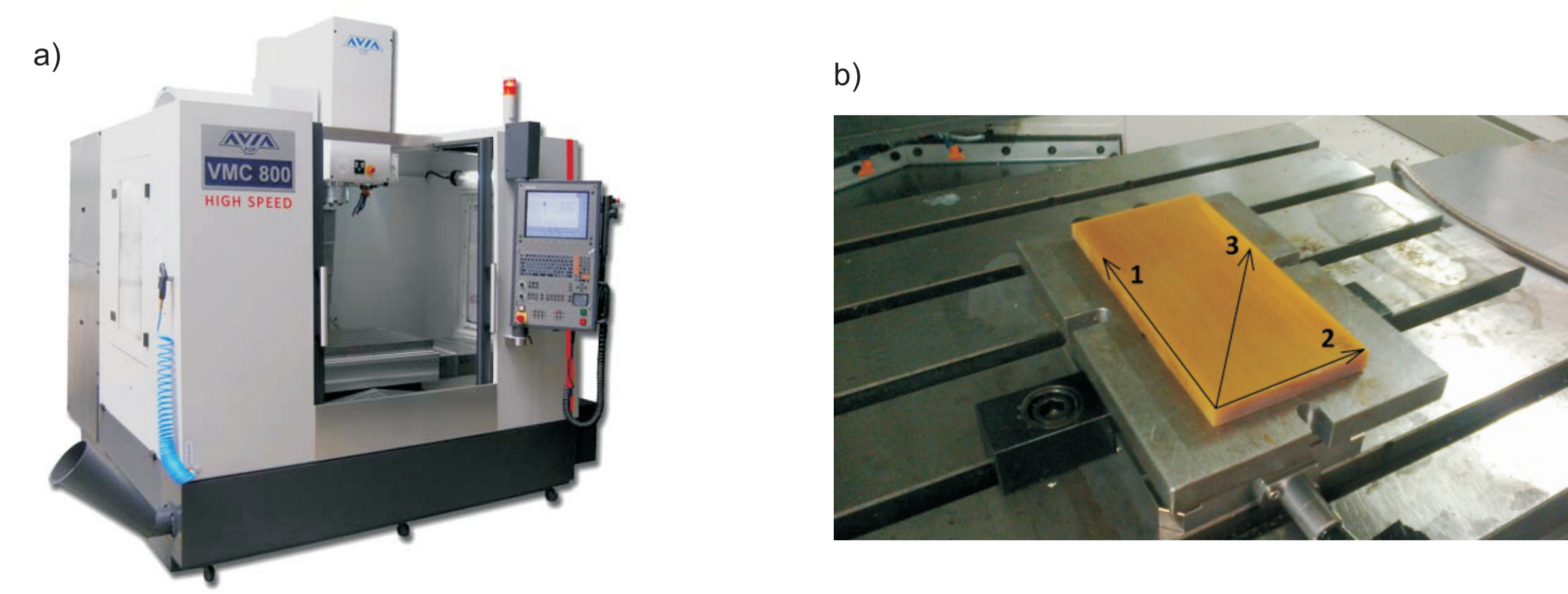
Rys.16. Wydajność skrawania w funkcji: a) prędkości obrotowej wrzeciona, b) amplitudy drgań ultrasonicznych  
Fig.16. Removal rate as a function: a) spindle speed, b) vibration amplitude of ultrasonic



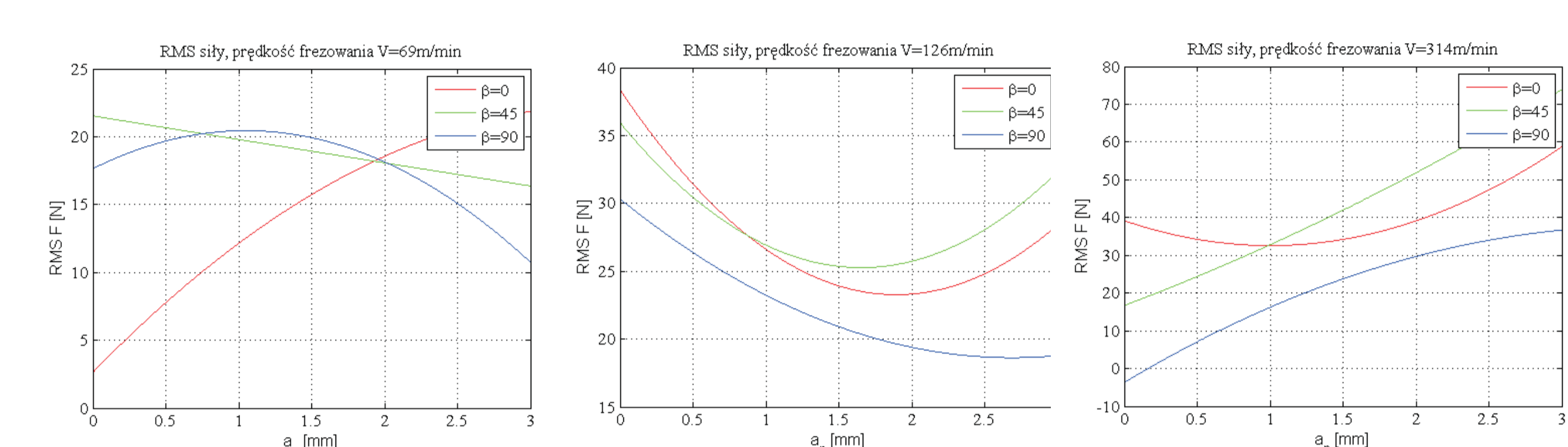
Rys.17. Wartości siły  $F_z$  w funkcji: a) prędkości obrotowej wrzeciona, b) amplitudy drgań ultrasonicznych  
Fig.17. Force value  $F_z$  as a function: a) spindle speed, b) vibration amplitude of ultrasonic

#### Badanie skrawalności kompozytu z włóknami szklanymi

#### Machinability study of glass fiber composite



Rys.18. Centrum obróbkowe VCM800 a), kierunki posuwu frezu względem linii ułożenia włókien b): 1 -  $\beta=0^\circ$ ; 2 -  $\beta=90^\circ$ ; 3 -  $\beta=45^\circ$   
Fig.18. Machining center VCM800 a), the tool feed directions against the fibers lines set b): 1 -  $\beta=0^\circ$ ; 2 -  $\beta=90^\circ$ ; 3 -  $\beta=45^\circ$



Rys.19. Zależność wartości skutecznej siły frezowania w funkcji głębokości skrawania  
Fig.19. Relationship of effective cutting force as a function depth of cut

#### Wnioski

#### Conclusions

- Badanie stabilności procesu frezowania przeprowadzone na przykładzie stopu Ti6242 wykazały zasadność użycia nowych miar stabilności opartych na:
  - wykresach rekurencyjnych,
  - parametrach statystycznych,
  - sparametryzowanej analizie rekurencyjności.
- W badaniach doświadczalnych procesu frezowania stali kwasoodpornej wykazano, podczas analizy korelacyjnej, że sprzężenie drgań (sił) w dwóch płaszczyznach jest mniejsze wraz z rosnącą głębokością skrawania.
- Przy większej głębokości skrawania (toczenia) wpływ zjawiska „stick-slip” jest bardziej widoczny niż klasyczny efekt podtrzymania drgań poprzez regenerację śladu.
- Badanie stabilności procesu toczenia przeprowadzone na stali kwasoodpornej wykazały możliwość użycia nowych miar do monitorowania procesu, są to:
  - procedura parametryczna FNS,
  - funkcja korelacji krzyżowej.
- Analysis of milling process stability on the basis of titanium alloy Ti6242 shows advantages of new stability indicators which are grounded on:
  - recurrence plots and recurrence quantification analysis
  - statistical analysis
- The cross-correlation analysis shows that the couplings in y-z and y-x planes significantly decrease with increasing depth of cut
- at larger cutting depths, the frictional stick-slip phenomenon between the cutting tool and the workpiece, which leads to self-sustained vibrations, becomes more important than the regenerative effect
- FNS parameterization procedure, structure function, and cross-correlation function are relatively simple and intuitive analytical tools that may be used to monitor cutting processes and develop new stability maps for nonstandard materials, including stainless steel and composite materials

#### Przykłady zastosowania w lotnictwie

#### Examples of application in aviation



#### Przykłady współpracy z przemysłem lotniczym

#### Collaboration with aviation industry

- WSK "PZL-Rzeszów" SA - Skrawanie elementów cienkościennych wykonanych z trudnoobrabialnych stopów lotniczych. Celem badań jest uzyskanie lepszej dokładności wymiarowo - kształtowej elementu obrabianego a także skrócenie czasu obróbki
- PZL Mielec SA - Stabilność procesów wysokowydajnych. Stability of HSM
- WSK "PZL-Rzeszów" SA - Cutting of thin - walled elements made of superalloys

#### Wskaźniki realizacji celów projektu

#### Indicators of the project

#### Publikacje

1. Litak G., Polyakov Y.S., Timashev S.F., Rusinek R.: "Dynamics of stainless steel turning: Analysis by flicker-noise spectroscopy" Physica A, 2013, 392(23) 6052-6063.
2. Warmiński J., Warmińska A.: "Hopf Bifurcations, Quasi-Periodic Oscillations and Frequency Locking Zones in a Self-Excited System Driven by Parametric and External Excitations" the ASME 2014 International Design Engineering Technical Conferences, & Computers and Information in Engineering Conference, DETC2014-34079, 2014.

#### Prace mgr, dr, hab.

#### Prace inżynierskie obronione:

- Marta Cichosz: **Badania procesu wiercenia materiałów kompozytowych stosowanych w przemyśle lotniczym.** Promotor: dr hab. inż. Rafał Rusinek
- Szymon Zbiciak - **Wyznaczenie charakterystyk sił skrawania w funkcji posuwu i głębokości skrawania, kompozytu metalicznego na bazie aluminium.** Promotor: dr inż. K. Kęćcik.
- Nadołny Artur - **Analiza sił skrawania w procesie frezowania materiału Inconel 625.** Promotor: dr inż. K. Kęćcik.

#### Prace inżynierskie planowane

- Wojciech Surmacz: **Badanie wpływu prędkości skrawania materiału kompozytowego z włóknem aramidowym na wielkość sił frezowania.** Promotor: dr hab. inż. Rafał Rusinek
- Kamil Trochimowicz: **Ocena wpływu posuwu podczas frezowania materiału kompozytowego z włóknem aramidowym na wielkość sił skrawania.** Promotor: dr hab. inż. Rafał Rusinek
- Agnieszka Kołacz: **Badanie wpływu głębokości skrawania materiału kompozytowego z włóknem aramidowym na charakterystykę i wielkość sił frezowania.** Promotor: dr hab. inż. Rafał Rusinek

#### Prace doktorskie planowane

- Analiza drgań nieliniowych układów mechanicznych z opóźnieniem czasowym. Autor: mgr inż. Andrzej Weremczuk. Promotor: prof. dr hab. inż. Jerzy Warmiński. Promotor pomocniczy: dr hab. inż. Rafał Rusinek. Status: przewod doktorski otwarty 23.05.2012